

АТМОСФЕРНАЯ РАДИАЦИЯ, ОПТИЧЕСКАЯ ПОГОДА И КЛИМАТ

УДК 551.577.38+551.513+571.1

Н.К. Барашкова

Прогноз режима увлажнения в теплый период года на юге Западной Сибири

Томский государственный университет

Поступила в редакцию 7.06.2005 г.

Представлены результаты поиска прогностических зависимостей между характеристиками Южного (Эль-Ниньо) и Северо-Атлантического колебаний и режимом увлажнения теплого полугодия на станциях Томск, Омск, Барнаул, Колпашево.

Проблема долгосрочного прогноза погоды и климата не теряет своей актуальности, и попытки привлечь новые предикторы для этих целей по-прежнему актуальны. Прогноз любой метеорологической величины начинается с анализа синоптической ситуации на территории, а в случае прогноза на большие сроки речь идет об анализе характеристик общей глобальной циркуляции. С этих позиций в последнее время пристальное внимание наряду с традиционными показателями и объектами общей циркуляции атмосферы (ОЦА) уделяется таким явлениям глобального взаимодействия океана и атмосферы, как Эль-Ниньо – Южное колебание (ЭНЮК) и Северо-Атлантическое колебание (САК) [1–3].

В данной статье рассматривается возможность привлечения количественных показателей этих колебаний для прогноза режима увлажнения на станциях юга Западной Сибири. В качестве показателя увлажнения использован индекс Д.А. Педя (S_i), учитывающий в комплексе термический режим и количество осадков на станции:

$$S_i = \frac{\Delta T}{\sigma_T} - \frac{\Delta R}{\sigma_R},$$

где ΔT и ΔR – аномалии температуры и осадков за соответствующий период; σ_T , σ_R – их среднеквадратические отклонения. Описание S_i , технология расчета и числовые критерии увлажненности приводятся в [5].

Итак, формирование экстремальных по увлажненности периодов связано, в первую очередь, с определенными циркуляционными процессами, показателями которых, по нашему мнению, могут служить характеристики Северо-Атлантического и Южного колебаний.

Понятия САК и ЭНЮК ввел известный британский ученый Дж. Уокер еще в начале 20-х гг. XX в.

Южным колебанием он назвал одну из колебательных систем атмосферной циркуляции, в которой происходит перемещение воздушных масс между индонезийским экваториальным центром низкого давления и субтропическим южно-тихоокеанским антициклоном.

В настоящее время существуют различные методы расчета интенсивности ЮК, но наиболее употребителен индекс SOI, который определяется с использованием нормированных аномалий приземного давления на о. Таити и в г. Дарвин (Австралия):

$$\delta_{gm} = \left(\frac{P_{gm} - P_m}{\varepsilon} \right)_{\text{Таити}} - \left(\frac{P_{gm} - P_m}{\varepsilon} \right)_{\text{Дарвин}},$$

где P_{gm} – фактическое давление, P_m – среднее многолетнее значение давления (норма); g и m – год и месяц соответственно. Вычисление индекса SOI осуществляется по следующей формуле:

$$\text{SOI} = \frac{\delta_{gm}}{\sigma},$$

где σ – стандартное отклонение всех разностей δ_{gm} .

При отрицательных значениях индекса SOI формируется явление Эль-Ниньо, при положительных – Ла-Ниньо.

Понятие «Северо-Атлантическое колебание» подразумевает изменения поля давления и, как следствие, интенсивности зонального переноса над внутритеческой зоной Северной Атлантики. Для оценки интенсивности САК в 1984 г. Роджерс предложил использовать разность среднесезонных значений давления на станциях, находящихся в регионах многолетнего положения Азорского максимума и Исландской депрессии. Ее количественное выражение – индекс Северо-Атлантического колебания (NAO) – определяется как разность нормированных на стандартное отклонение аномалий приземного давления между Исландией (обычно Рейкьявик или Стиккисхоульмюор) и Азорскими островами (Понта-Дельгада), либо югом Пиренейского п-ва (Гибралтар или Лиссабон) и рассчитывается по формуле

$$\text{NAO} = \frac{\delta_{gm}}{\sigma_m},$$

где

$$\delta_{gm} = \left(\frac{P_{gm}^A - P_m^A}{\sigma_m^A} \right) - \left(\frac{P_{gm}^I - P_m^I}{\sigma_m^I} \right).$$

Здесь P_{gm}^A , P_{gm}^I – среднемесячное значение давления воздуха, P_m – среднее многолетнее давление; А и И – Азорские острова и Исландия.

Согласно [6] при $NAO > 0$ в зимнее время при усиении градиентов давления над Северной Атлантикой циклоны проходят по северо-западу и северу Европы и Сибири, образуя зону низкого давления, которая не позволяет арктическим вторжениям проникать в низкие широты и подпитывать, в частности, Сибирский антициклон, что ведет к его ослаблению. Так формируются экстремально теплые зимы в Европе с большим количеством осадков на северо-западе Европы, а также на севере Сибири и в южных районах Западной Сибири, куда при ослаблении Сибирского антици克лона проникают циклоны с юга.

При $NAO < 0$ зональный поток над Северной Атлантикой ослабевает и циклоны проходят по более южным траекториям, формируя положительные аномалии осадков на юге и юго-востоке Европы (так называемые южные и средиземноморские циклоны). Ослабление зонального переноса приводит к увеличению повторяемости арктических вторжений и формированию отрицательной аномалии температуры.

Многочисленные исследования САК и его вклада в климатическую изменчивость указывают на его первостепенную роль в механизме атмосферной циркуляции Северного полушария.

На рис. 1 приводится динамика среднегодовых значений (увеличенных в 10 раз) индексов SOI и NAO за период с 1935 по 1995 г., указывающая на то, что в Южном полушарии наметилась тенденция к уча-

щению явления Эль-Ниньо, а в Северной Атлантике преобладают с середины 1950-х гг. положительные значения NAO, т.е. наблюдается усиление в целом западного переноса и преобладание связанных с ним форм атмосферной циркуляции.

Исходным материалом для исследования связей ЮОК и САК и режима увлажнения в Западной Сибири послужили сведения о среднемесячной температуре и месячных суммах осадков за 1960–1995 гг. по станциям Омск, Барнаул, Томск, Колпашево и среднемесячные индексы SOI и NAO за указанный период [4].

Предварительно нами было выявлено, что режим увлажнения в рассматриваемом районе имеет определенную связь с формами атмосферной циркуляции. В период до 1968 г., т.е. в эпоху смешанной (B + C) формы циркуляции по типизации Вангенгейма–Гирса, на всех станциях в апреле (рис. 2) и сентябре наблюдалось усиление интенсивности атмосферных засух, а в мае, августе – соответственно увеличение атмосферной увлажненности. В июне и июле станции имели разнообразный режим увлажнения, но Томск и Колпашево в целом характеризовались усилением атмосферных засух.

В период с 1969 по 1981 г. наблюдалась восточная форма, на всех станциях в апреле и сентябре в этот период снижалась интенсивность атмосферных засух, а в мае и августе усиливалась.

В следующий период (1982–1990 гг.), когда преобладала форма С, снова наметилась тенденция на усиление засушливости, особенно в Томске, Колпашеве (июнь, июль) и ее ослабление в Барнауле, Омске. С 1991 г. преобладает западная форма (W) и наметилась тенденция на переувлажнение исследуемой территории в августе.

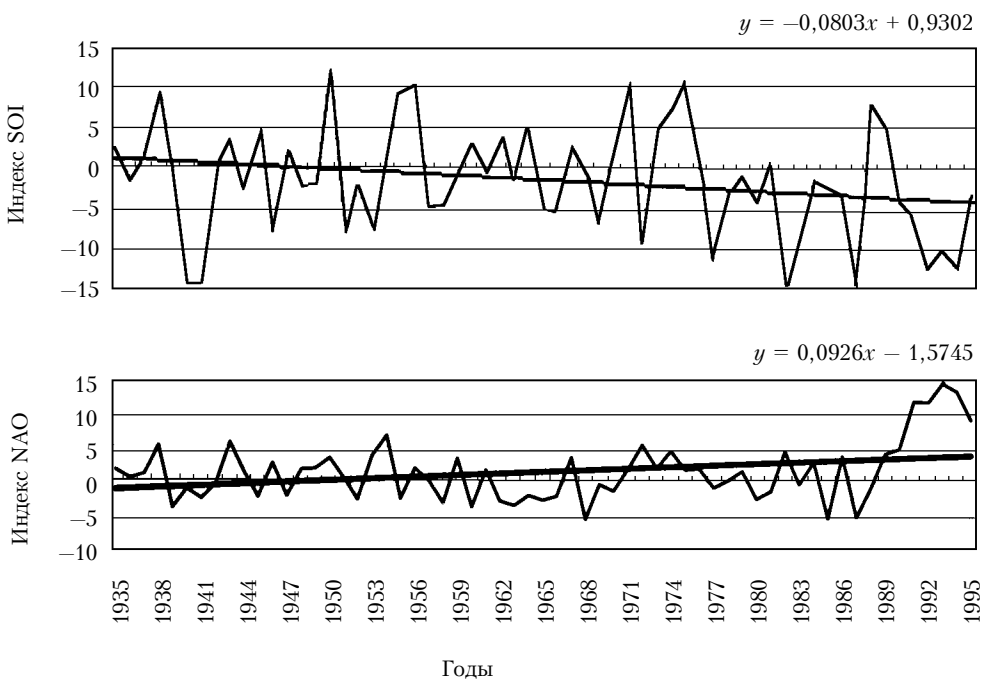


Рис. 1. Динамика явлений ЭНЮК и САК

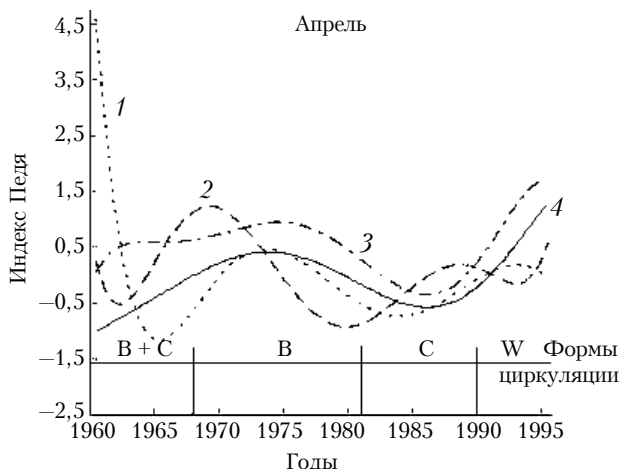


Рис. 2. Динамика индекса Педя в апреле и формы атмосферной циркуляции: 1 — Барнаул; 2 — Омск; 3 — Томск; 4 — Колпашево

Для поиска прогностических зависимостей между показателем S_i и индексами SOI и NAO привлекались корреляционный анализ (на этапе поиска информативных предикторов) и линейный дискриминантный анализ для построения прогностических уравнений. Поиск информативных предикторов (т.е. среднемесечных значений индексов SOI и NAO) осуществлялся с годовой заблаговременностью при дальнейшем уменьшении ее с шагом 1 мес. В результате были выделены периоды осуществления Южного и Северо-Атлантического колебаний, когда их влияние на условия погоды в Западной Сибири было наиболее вероятно, а коэффициенты корреляции с индексом S_i статистически значимы. В табл. 1 и 2 приводятся результаты асинхронного корреляционного анализа.

Видно, что информативными оказались преимущественно индексы SOI за холодный период года (ноябрь–февраль) и лишь для ст. Барнаул значимым для увлажненности февраля оказался индекс за июль. Наиболее высокие коэффициенты 0,77

(ст. Омск) и 0,71 (ст. Барнаул) указывают на достаточно высокий уровень корреляционных связей индекса SOI и погодных характеристик юга Западной Сибири.

Северо-Атлантическое колебание имеет большее число статистически значимых асинхронных связей с увлажнением региона (см. табл. 2). Самые высокие связи отмечены для ст. Омск ($-0,73$) и Томск ($-0,69$).

На следующем этапе проведено построение разделяющих линейных дискриминантных функций на основе выбранных предикторов (индексов SOI и NAO за ноябрь–январь) для прогноза класса атмосферной увлажненности (класс «норма» (H) для $-1 \leq S_i \leq 1$, класс «увлажнение» (Y) $S_i < -1$, класс «засуха» (Z) $S_i > 1$) в теплое полугодие по двухмесячным периодам апрель–май, июнь–июль, август–сентябрь для каждой из рассматриваемых станций. Ниже приводится список рассчитанных дискриминантных функций с наибольшей оправдываемостью отдельных классов увлажнений.

Список дискриминантных функций

Ст. Томск Апрель–май

$$L(H, Z) = 0,070SOI_1 + 0,055NAO_1 + 0,083.$$

Оправдываемость классов «З» — 76,9%; «Н» — 61,5%; общая — 69,2%.

Июнь–июль

$$L(H, Z) = -0,022SOI_1 + 0,015NAO_1 + 0,004.$$

Оправдываемость классов «З» — 33,3%; «Н» — 88,8%; общая — 61,1%.

Август–сентябрь

$$L(H, Y) = 0,005SOI_1 + 0,044NAO_1 - 0,025.$$

Оправдываемость классов «Y» — 52,9%; «Н» — 70,5%; общая — 61,7%.

Таблица 1

Коэффициенты значимой корреляции между индексами Педя и SOI

Индекс SOI	Индекс Педя											
	Месяц	Месяц										
		4	7	8	9	8	9	7	8	9	2	6
Ла-Ниньо	1	0,66						0,62			0,71	0,44
	2	0,38			0,37						0,34	-0,6
	3								0,58			
	4					-0,4						
	7									-0,4		
	11	0,42	0,77		0,71						0,67	
	12	0,39	0,59		0,46	0,34		0,39			0,53	
Эль-Ниньо	1	-0,53					-0,54	-0,41	-0,33		-0,37	
	2	-0,33						-0,45			-0,4	
	3		-0,34									
	4					0,62						
	7								0,37			
	11	-0,41	-0,52									
	12		-0,44		-0,37		-0,33			-0,4		

Таблица 2

Коэффициенты значимой корреляции между индексами Педя и NAO

Ст. Колпашево*Апрель–май*

$$L(H,3) = 0,038SOI_{12} - 0,011NAO_{12} - 0,014.$$

Оправдываемость классов «З» – 76,4%; «Н» – 70,5%; общая – 73,5%.

Июнь–июль

$$L(H,Y) = 0,005SOI_{12} - 0,08NAO_1 + 0,037.$$

Оправдываемость классов «У» – 75,0%; «Н» – 62,5%; общая – 68,7%.

Ст. Омск*Апрель–май*

$$L(H,Y) = 0,034SOI_1 + 0,0135NAO_1 - 0,024.$$

Оправдываемость классов «У» – 69,2%; «Н» – менее 50%.

Ст. Барнаул*Апрель–май*

$$L(H,3) = 0,005SOI_1 + 0,009NAO_1 + 0,035.$$

Оправдываемость классов «З» – 73,3%; «Н» – 73,3%; общая – 73,3%.

Для функций $L(H,3)$, при $L > 0$ прогнозируется засуха, при $L < 0$ – класс «норма». Для функции $L(H,Y)$ при $L > 0$ – «норма», при $L < 0$ – «увлажнение». Нижний индекс у предикторов указывает месяц, к которому относится используемый предиктор. Порядок использования полученных функций для прогноза по каждой станции и каждому двухмесячному интервалу следующий: рассчитывается дискриминантная функция между классами «Н» и «З»,

и если результат указывает на осуществление класса «З», то расчет заканчивается прогнозом засушливых условий. Если же получается указание на класс «Н», то переходят к расчету следующей дискриминантной функции между классами «Н» и «У». Результат, который получается в этом случае, будет окончательным.

В заключение необходимо отметить, что полученные зависимости можно рекомендовать к использованию при наличии в прогностических подразделениях соответствующей исходной информации о состоянии объектов ОЦА, рассматриваемых в данном исследовании.

1. *Барашкова Н.К.* Состояние глобальной циркуляции и экстремальные условия погоды на юге Западной Сибири // Геогр. и природ. ресурсы. 2002. № 3. С. 64–68.
2. *Груза Г.В., Ранькова Э.Л., Клещенко Л.К., Аристова Л.Н.* О связи климатических аномалий на территории России с явлением ЭНЮК // Метеорол. и гидрол. 1999. № 5. С. 32–51.
3. *Иванова-Шиц К.А., Соколихина Н.Н., Тарасова Л.Л.* Дальние связи между температурой поверхности тропической зоны Тихого океана и суммами осадков над Северным полушарием // Метеорол. и гидрол. 2000. № 11. С. 5–11.
4. *Мониторинг общей циркуляции атмосферы / Под ред. А.И. Неушкина.* Обнинск, 1997. 124 с.
5. *Педъ Д.А.* О показателе атмосферной засухи и избыточного увлажнения // Тр. Гидрометцентра СССР. 1975. Вып. 156. С. 19–38.
6. *Попова В.В., Шмакин А.Б.* Влияние САК на многолетний гидротермический режим Северной Евразии // Метеорол. и гидрол. 2003. № 5. С. 3–8.

N.K. Barashkova. Moistening conditions forecast for the mild period of year in the south of the West Siberia.

The results of the search for prognostic dependencies between characteristics of ENSO and NAO and moistening conditions of the mild period at Tomsk, Omsk, Barnaul, and Kolpashevo are presented.